

Розроблений програмний комплекс «Тягові розрахунки» [1] абсолютно відповідає до вимог інформативності даних в тягових розрахунках та дозволяє раціоналізувати витрату ресурсів на тягу поїздів.

#### Список використаних джерел

- 1 Фалендиш А.П., Гатченко В.О., Возненко С.В., Клецька О.В., Барібін М.А. Математичне моделювання основних параметрів у тягових розрахунках // Збірник наукових праць ДУІТ. Серія «Транспортні системи і технології» 2020., №35. С. 102-112.
- 2 Осипов С.И., Осипов С.С. Основы тяги поездов. Учебник для студентов техникумов и колледжей железнодорожного транспорта. Москва: УМК МПС России, 2010. 592 с.
- 3 Наказ №204-Ц. Положення про інспекцію з контролю ефективності використання енергоресурсів Укрзалізниці. - Введ. 2014-05-16. – Київ:, 2014. - 10 с.

асп. М. А. Барібін<sup>1</sup>,

канд. тех. наук А. О. Кағраманян<sup>1</sup>,  
канд. тех. наук Д. А. Іванченко<sup>1</sup>,  
канд. тех. наук К. В. Іванченко<sup>2</sup>

<sup>1</sup>Український державний університет  
залізничного транспорту, м. Харків;

<sup>2</sup>Національний технічний університет  
«Харківський політехнічний інститут»)

УДК 629.4/004.89:004.93

#### МАТЕМАТИЧНИЙ АПАРАТ ПЕРЕТВОРЕННЯ ВХІДНИХ ДАННИХ ТЯГОВИХ РОЗРАХУНКІВ ДО ОПТИМАЛЬНОГО ВИДУ ПРОГРАМНИХ ОБЧИСЛЕНИЬ

Основні параметри тягового рухомого складу в залежності від швидкості та контролюємого параметра в своїй більшості в літературних джерелах задані таблично чи графічно в габаритах [2], які не дозволяють повноцінно обрати параметр контролю у всьому діапазону швидкостей. Розвиток мікропроцесорного обладнання та його інтеграція в локомотивному господарстві вимагає точних значень деяких параметрів в залежності від швидкості руху поїзда. Тому пропонується для визначення необхідних

данних використати метод найменших квадратів [3]. Прикладом такого розрахунку можуть бути гіперболічні характеристики сили тяги.

В загальному вигляді гіперболічне рівняння сили тяги локомотива відносно швидкості руху має вид:

$$F_K = a + \frac{b}{V}. \quad (1)$$

Для визначення коефіцієнтів  $a$  і  $b$  пропонується використовувати вирази:

$$a = \frac{n \cdot \sum_{i=1}^n F_{K_i} \cdot \sum_{i=1}^n \left( \frac{1}{V_i} \right)^2 - \sum_{i=1}^n \frac{1}{V_i} \cdot \sum_{i=1}^n \frac{F_{K_i}}{V_i}}{n \cdot \sum_{i=1}^n \left( \frac{1}{V_i} \right)^2 - \sum_{i=1}^n \frac{1}{V_i} \cdot \sum_{i=1}^n \frac{1}{V_i}}, \quad (2)$$

$$b = \frac{n \cdot \sum_{i=1}^n \frac{F_{K_i}}{V_i} - \sum_{i=1}^n \frac{1}{V_i} \cdot \sum_{i=1}^n F_{K_i}}{n \cdot \sum_{i=1}^n \left( \frac{1}{V_i} \right)^2 - \sum_{i=1}^n \frac{1}{V_i} \cdot \sum_{i=1}^n \frac{1}{V_i}}. \quad (3)$$

Останнім етапом розрахунку повинно стати визначення похибки отриманого рівняння відносно даних таблиць чи графічних зображень за виразом:

$$\Delta = \frac{\sum_{i=1}^n \left| F_{K_i} - a - \frac{b}{V_i} \right|}{n \cdot \sum_{i=1}^n F_{K_i}} \cdot 100\%. \quad (4)$$

Вхідними даними для прикладу розрахунку є табличні значення сили тяги локомотива ЧМЕ3 на 8-й позиції контролера машиніста наведені у таблиці.

Розраховане значення сили тяги локомотива ЧМЕ3 на 8-й позиції контролера машиніста за формулами (2-4) зображенено на рисунку.

Таблиця

Вхідні дані розрахунку										
F <sub>k</sub> , кН	303	287,4	265,1	176	152,7	148	140,5	133	114	95
V, км/год	9,3	10	11	15	17,5	18	19	20	24	28
F <sub>k</sub> , кН	85,3	84	68	55	45	43	41,8	37	29	30
V, км/год	31,5	32	40	50	60	62,5	64	70	80	31

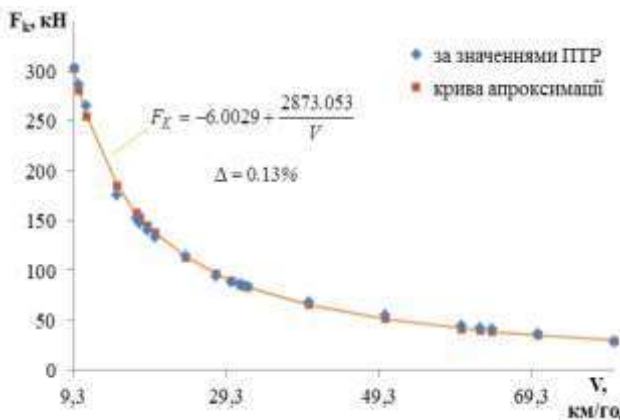


Рис. Рівняння гіперболічної сили тяги тепловозу ЧМЕ3 на 8-й позиції контролера машиніста

Головною задачею при проведенні апроксимації є відстікування похибки розрахунку та візуального контролю збіжності точкових значень з графічною інтерпритацією кривої. У разі невідповідності необхідно змінити тип кривої на поліноміальну, експоненційну, логарифмічну чи іншу. Впроваджені результати розрахунку знайшли своє застосування в програмному комплексу «Тягові розрахунки» та направлені на підвищення точності обчислень [1].

#### Список використаних джерел

- 1 Фалендиш А.П., Гатченко В.О., Возненко С.В., Клецька О.В., Барібін М.А. Математичне моделювання основних параметрів у тягових розрахунках // Збірник наукових праць ДУІТ. Серія «Транспортні системи і технології» 2020., №35. С.102-112.
- 2 Осипов С.И., Осипов С.С. Основы тяги поездов. Учебник для студентов техникумов и колледжей железнодорожного транспорта. Москва: УМК МПС России, 2010. 592 с.
- 3 Кудрявцев Л.Д. Курс математического анализа. Москва: Дрофа, 2003. 703 с.

Селецький В. С., к.т.н., провідний інженер  
ВП “Львівське відділення” філії “ГІОЦ”  
АТ “Укрзалізниця”

УДК 683.1

#### РОЗШИРЕННЯ МЕРЕЖ ПЕТРІ. ВЛАСТИВОСТІ І АНАЛІЗ, ПЕРЕТВОРЕННЯ І ПРАВИЛА МАРКУВАННЯ ТА МОЖЛИВОСТІ ПОЗИЦІЙ МЕРЕЖ ПЕТРІ

Для моделювання технологічних процесів різних інформаційних і транспортних систем, в тому числі і систем залізничного транспорту були розроблені

нововведення мереж Петрі (МП): ♦ виду дуги – інгібіторна дуга  $n$ -го порядку; ♦ виду позиції: позиція  $n$ -го рівня, позиція з фіксованим часом затримання фішок, позиція  $n$ -го рівня з фіксованим часом затримання фішок, проста предикатна позиція, предикатна позиція  $n$ -го рівня і ♦ виду переходу – предикатний переход.

Розширенна мережа Петрі  $RN$  задається сукупністю із шести множин:  $RN=(P, T, A, w, B, \bar{w})$ , де  $P$  і  $T$  скінченні, непорожні множини позицій і переходів;

$A = A^- \cup A^+$ , де  $A^-$  і  $A^+$  – множини орієнтованих дуг  $ArctI$  і  $ArctO$  (вхідних і вихідних),  $A \subseteq P \times T \cup T \times P$ ;  $w$  - функція ваги для дуг  $ArctI$  і  $ArctO$ ,  $w : A \rightarrow \{0, 1, 2, \dots\}$ ;  $B$  - множина інгібіторних дуг  $n$ -го порядку  $ArctInh$ ,  $B \subseteq P \times T$ ,  $\bar{w}$  - функція ваги для дуг  $ArctInh$  МП,  $\bar{w} : B \rightarrow \{0, -1, -2, \dots\}$  і  $A \cap B = \emptyset$ . Маркована МП  $RM$  задається парою  $RM=(RN, m_0)$ , де:  $RN=(P, T, A, w, B, \bar{w})$  і  $m_0 : P \rightarrow \{0, 1, \dots\}$ .

**Властивості і аналіз розширених мереж Петрі** [1]. Нововведені елементи МП описані на математичній термінології, відображені за допомогою графічних інтерпретацій і продемонстровано їх використання на імітаційній підмережах.

Одна із імітаційній підмереж  $S_{Prk}$ , яка містить предикатну позицію  $k$ -го рівня наведена на рис. 1.

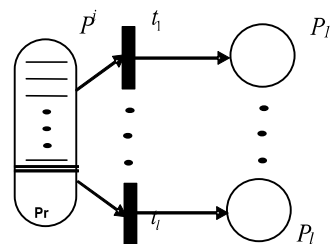


Рис. 1. Підмережа  $S_{Prk}$

Предикатна позиція  $k$ -го рівня вирішує конфліктну ситуацію зпрацювання  $i$ -го переходу з  $l$  переходів, які виходять з даної позиції.

В підмережі  $S_{Prk}$  предикатна позиція  $k$ -го рівня  $P^i$  має початкове маркування  $m(P^i) = (m_1, m_2, \dots, m_k)$ , а позиції  $P_j$ , для  $1 \leq j \leq l$  мають початкове маркування  $m(P_j)$ , для  $1 \leq j \leq l$ . В результаті запуску послідовності переходів:  $t_{n_1}, t_{n_2}, \dots, t_{n_k}$  маркування підмережі  $M$